

# Интеллектуальные системы управления, анализ данных

© 2022 г. В.А. БУХАЛЁВ, д-р техн. наук (Vadim.Bukhalev@yandex.ru)  
(Московский научно-исследовательский телевизионный институт),  
А.А. СКРЫННИКОВ, канд. техн. наук (a1260@mail.ru)  
(Государственный научно-исследовательский институт  
авиационных систем, Москва;  
Московский авиационный институт),  
В.А. БОЛДИНОВ, канд. техн. наук (ViktorBoldinov@mail.ru)  
(Московский авиационный институт)

## АДАПТИВНОЕ РАСПОЗНАВАНИЕ МАРКОВСКОГО ДВОИЧНОГО СИГНАЛА ЛИНЕЙНОЙ СИСТЕМЫ НА ОСНОВЕ РАСПРЕДЕЛЕНИЯ ПИРСОНА I ТИПА<sup>1</sup>

Рассматривается задача нахождения закона распределения выходного сигнала апериодического звена, на вход которого действует случайный скачкообразный сигнал в виде марковской цепи с двумя состояниями. Теоретически доказано, что плотность вероятности выходного сигнала описывается распределением Пирсона I типа, что экспериментально подтверждается результатами математического моделирования. Полученные результаты используются для синтеза алгоритма адаптивного распознавания неизвестных вероятностей переходов марковской цепи.

*Ключевые слова:* распределение Пирсона I типа, случайная скачкообразная структура, марковский двоичный сигнал, адаптивный алгоритм, вероятности переходов марковской цепи.

DOI: 10.31857/S0005231022080098, EDN: ANWVVL

### 1. Введение

Семейство *распределений Пирсона* часто используется в прикладных задачах исследования стохастических динамических систем для аппроксимации законов распределения фазовых координат [1–5].

Это объясняется широтой охвата реальных вероятностных распределений, встречающихся на практике, разнообразием форм распределений Пирсона и возможностью построения алгоритмов анализа и синтеза, сочетающих точность решения с простотой реализации.

В связи с этим возникает интерес, насколько аппроксимирующие распределения близки к реальным, которые можно найти в результате аналитических

---

<sup>1</sup> Работа выполнена при финансовой поддержке Российского научного фонда (проект № 22-29-00708).

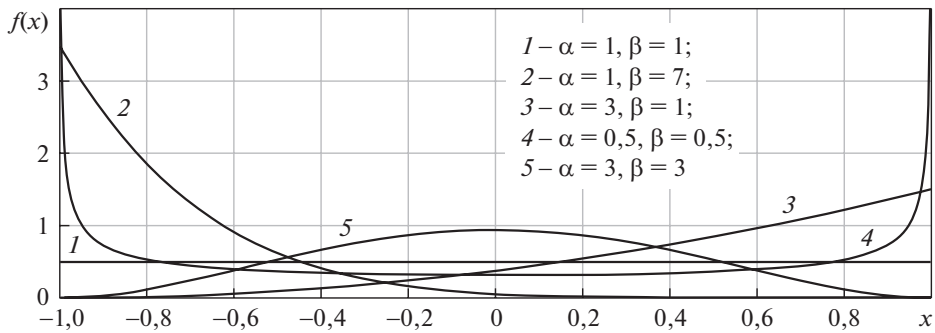


Рис. 1. Плотность вероятности распределения Пирсона I типа при  $a = b = 1$  и при различных значениях  $\alpha, \beta$ .

решений некоторых типовых задач. Одна из таких задач рассматривается в настоящей работе.

С ней связана вторая задача, решаемая в статье, — применение полученного распределения как аппроксимирующего для построения алгоритма адаптивного распознавания неизвестных вероятностей переходов марковского двоичного входного сигнала линейной системы.

Одним из наиболее эффективных с этой точки зрения является распределение Пирсона I типа, плотность вероятности которого описывается формулой

$$f(x) = \begin{cases} \frac{(a+x)^{\alpha-1}(b-x)^{\beta-1}}{(a+b)^{\alpha+\beta-1}B(\alpha, \beta)} & \text{при } x \in [-a, b]; \\ 0 & \text{при } x \notin [-a, b], \end{cases}$$

где  $B(\alpha, \beta)$  — бета-функция, а математическое ожидание  $m$  и дисперсия  $D$  случайной величины  $X$  связаны с параметрами распределения  $\alpha, \beta$  простыми алгебраическими формулами

$$m = \frac{b\alpha - a\beta}{\alpha + \beta}, \quad D = \frac{(a+b)^2\alpha\beta}{(\alpha + \beta)^2(\alpha + \beta + 1)}.$$

Распределение Пирсона I типа обладает двумя практическими достоинствами: 1) жесткие ограничения по амплитуде сигналов в технических устройствах определяют диапазон распределения  $[-a, b]$ ; 2) форма кривой распределения существенно изменяется в зависимости от сочетания параметров  $\alpha, \beta$  (см. рис. 1).

Эти обстоятельства позволяют надеяться на успешное применение распределения Пирсона I типа в качестве аппроксимирующего и при решении аналогичных задач для других инерционных систем.

## 2. Постановка задачи

Рассмотрим систему, изображенную на рис. 2 и описываемую уравнением

$$(2.1) \quad x_{k+1} = lx_k + (1-l)u(s_k),$$

где  $s_k$  — марковская цепь с двумя состояниями:  $s = 1$  и  $s = 2$ , заданная вероятностями переходов  $h$  и  $g$ ;  $h \in (0, 0,5)$ ,  $g \in (0, 0,5)$ ;  $u(s_k)$  — случайный двоичный сигнал:  $u(1) = b$ ,  $u(2) = -a$ ,  $a > 0$ ,  $b > 0$ ;  $l$  — коэффициент усиления,  $l \in (0, 1)$ .

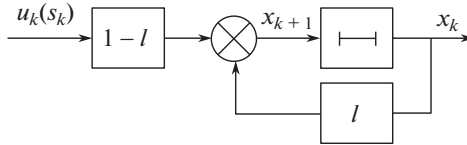


Рис. 2.

Требуется: 1) найти закон распределения выходного сигнала  $x(t)$  в установившемся режиме при *известных* вероятностях переходов  $h, g$ ; 2) применить полученное распределение для адаптивного распознавания *неизвестных*  $h, g$  по измерениям  $x_k$ .

## 3. Распределение выходного сигнала

Если изменения структуры представляют собой условно-марковскую цепь с вероятностями переходов  $q_k(s_{k+1}|x_k, s_k)$ , то на основании теории систем со случайной скачкообразной структурой (ССС) [1–3, 5–9] закон распределения  $(x_k, s_k)$  описывается уравнениями

$$(3.1) \quad f_{k+1}(x_{k+1}, s_{k+1}) = \sum_{s_k} \int_{-\infty}^{\infty} f_{k+1}(x_{k+1}|x_k, s_k) q_k(s_{k+1}|x_k, s_k) f_k(x_k, s_k) dx_k,$$

$$s_k = \overline{1, n^{(s)}},$$

где  $q_k(s_{k+1}|x_k, s_k)$  — условная вероятность перехода из  $s_k$  в  $s_{k+1}$  при фиксированном  $x_k$ .

В частном случае, при  $s_k = 1, 2$  и условиях задачи п. 2, уравнения (3.1) принимают вид

$$(3.2) \quad f_{k+1}(x_{k+1}, 1) = \int_{-\infty}^{\infty} f_{k+1}(x_{k+1}|x_k, 1) [(1-h)f_k(x_k, 1) + gf_k(x_k, 2)] dx_k,$$

$$(3.3) \quad f_{k+1}(x_{k+1}, 2) = \int_{-\infty}^{\infty} f_{k+1}(x_{k+1}|x_k, 2) [hf_k(x_k, 1) + (1-g)f_k(x_k, 2)] dx_k,$$

где

$$(3.4) \quad f_{k+1}(x_{k+1}|x_k, 1) = \delta(x_{k+1} - lx_k - 1 + l),$$

$$(3.5) \quad f_{k+1}(x_{k+1}|x_k, 2) = \delta(x_{k+1} - lx_k + 1 - l),$$

$\delta(\cdot)$  — дельта-функция Дирака.

При  $k \rightarrow \infty$  (установившийся режим) уравнения (3.2)–(3.5) преобразуются к непрерывной форме:

$$(3.6) \quad \begin{aligned} l(x-b) \frac{\partial f(x, 1)}{\partial x} + (l-h)f(x, 1) + gf(x, 2) &= 0; \\ l(x+b) \frac{\partial f(x, 2)}{\partial x} + (l-g)f(x, 2) + hf(x, 1) &= 0. \end{aligned}$$

Исключая из системы уравнений переменную  $f(x, 2)$  и используя подстановку  $y = (x+a)/(a-b)$ , получаем *гипергеометрическое уравнение Гаусса* [10]

$$(3.7) \quad \begin{aligned} y(y-1) \frac{\partial^2 f(y, 1)}{\partial y^2} + [(3-\alpha-\beta)y + \alpha - 1] \frac{\partial f(y, 1)}{\partial y} + \\ + (1-\alpha-\beta)f(y, 1) = 0, \end{aligned}$$

где

$$(3.8) \quad \alpha \triangleq \frac{g}{1-l}, \quad \beta \triangleq \frac{h}{1-l}.$$

Уравнение (3.7) эквивалентно уравнению с *разделяющимися переменными* [10]

$$(3.9) \quad y(y-1) \frac{\partial f(y, 1)}{\partial y} + [(1-\alpha-\beta)y + \alpha] f(y, 1) = 0.$$

Аналогично получаем уравнение для  $f(x, 2)$

$$(3.10) \quad y(y-1) \frac{\partial f(y, 2)}{\partial y} + [(1-\alpha-\beta)y + \alpha - 1] f(y, 2) = 0.$$

Решая эти уравнения, получаем

$$(3.11) \quad f(y, 1) = C_1 y^\alpha (1-y)^{\beta-1}, \quad f(y, 2) = C_2 y^{\alpha-1} (1-y)^\beta.$$

Произвольные постоянные определяются из условия нормировки

$$(3.12) \quad \int_0^1 f(y, 1) dy = p(1), \quad \int_0^1 f(y, 2) dy = p(2).$$

Вероятности состояний структуры  $p_{k+1}(1)$ ,  $p_{k+1}(2)$  определяются формулами

$$(3.13) \quad p_{k+1}(1) = \int_{-\infty}^{\infty} f_{k+1}(x_{k+1}, 1) dx_{k+1},$$

$$p_{k+1}(2) = 1 - p_{k+1}(1),$$

откуда согласно (3.2), (3.3) следует

$$(3.14) \quad p_{k+1}(1) = (1 - h - g)p_k(1) + g.$$

В установившемся режиме (при  $k \rightarrow \infty$ ) из (3.14) получаем

$$(3.15) \quad p(1) = \frac{g}{h+g}, \quad p(2) = \frac{h}{h+g}.$$

Подставив (3.11), (3.15) в (3.9), (3.10), производя обратную замену  $x = (a+b)y - a$  и учитывая соотношения  $f(x, 1) = p(1)f(x|1)$ ,  $f(x, 2) = p(2)f(x|2)$ , находим *установившиеся* условные плотности вероятностей  $f(x|1)$ ,  $f(x|2)$  и безусловную плотность вероятности  $f(x)$ :

при  $x \in [-a, b]$

$$(3.16) \quad f(x|1) = \frac{(a+x)^\alpha (b-x)^{\beta-1}}{(a+b)^{\alpha+\beta} B(\alpha+1, \beta)},$$

$$(3.17) \quad f(x|2) = \frac{(a+x)^{\alpha-1} (b-x)^\beta}{(a+b)^{\alpha+\beta} B(\alpha, \beta+1)},$$

$$(3.18) \quad f(x) = \frac{(a+x)^{\alpha-1} (b-x)^{\beta-1}}{(a+b)^{\alpha+\beta-1} B(\alpha, \beta)},$$

при  $x \notin [-a, b]$

$$(3.19) \quad f(x|1) = f(x|2) = f(x) = 0,$$

где  $B(\alpha, \beta)$  — бета-функция;  $\alpha > 0$ ,  $\beta > 0$ .

Таким образом, условные и безусловные распределения выходного сигнала в установившемся режиме являются распределениями Пирсона I типа [4, 5].

В частном случае при  $a = b = 1$ :

при  $x \in [-1, 1]$

$$(3.20) \quad f(x|1) = \frac{(1+x)^\alpha (1-x)^{\beta-1}}{2^{\alpha+\beta} B(\alpha+1, \beta)},$$

$$(3.21) \quad f(x|2) = \frac{(1+x)^{\alpha-1} (1-x)^\beta}{2^{\alpha+\beta} B(\alpha, \beta+1)},$$

$$(3.22) \quad f(x) = \frac{(1+x)^{\alpha-1} (1-x)^{\beta-1}}{2^{\alpha+\beta-1} B(\alpha, \beta)},$$

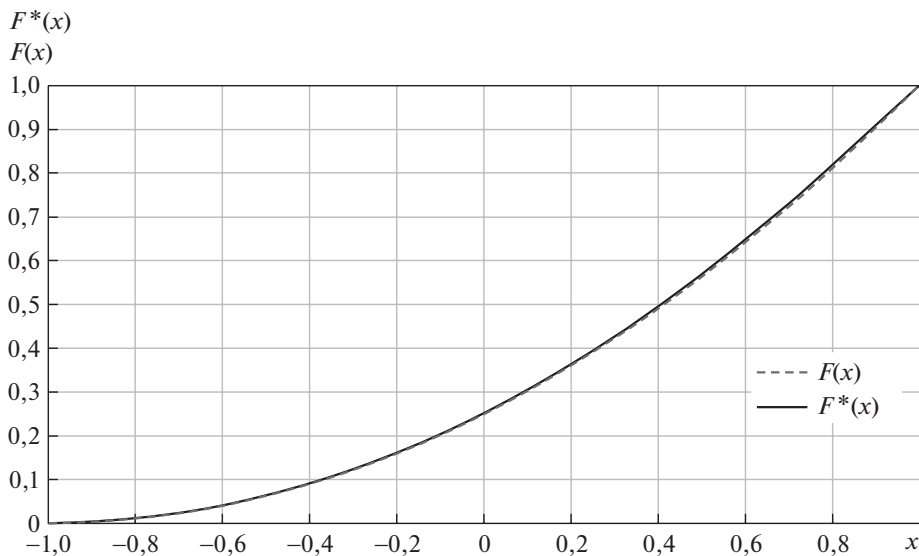


Рис. 3.

при  $x \notin [-1, 1]$

$$(3.23) \quad f(x|1) = f(x|2) = f(x) = 0.$$

В частном случае при  $b = 1$ ,  $a = 0$  распределения (3.19) являются *бета-распределениями*: [4, 5]

при  $x \in [0, 1]$

$$(3.24) \quad f(x|1) = \frac{x^\alpha(1-x)^{\beta-1}}{B(\alpha+1, \beta)},$$

$$(3.25) \quad f(x|2) = \frac{x^{\alpha-1}(1-x)^\beta}{B(\alpha, \beta+1)},$$

$$(3.26) \quad f(x) = \frac{x^{\alpha-1}(1-x)^{\beta-1}}{B(\alpha, \beta)},$$

при  $x \notin [0, 1]$

$$(3.27) \quad f(x|1) = f(x|2) = f(x) = 0.$$

Как следует из формул (3.8), (3.19), параметры  $\alpha$ ,  $\beta$  характеризуют *отношение частотного спектра случайного двоичного входного сигнала к полосе пропускания апериодического звена и сдвиг распределения выходного сигнала в сторону одной из границ:  $b$  или  $(-a)$ .*

*Пример.* Результаты моделирования выходного сигнала  $x(t)$  по формуле (2.1) с заданными вероятностями переходов  $h = 0,1\Delta t$  и  $g = 0,2\Delta t$  и коэффициенте усиления  $l = 0,1\Delta t$ , где  $\Delta t$  — шаг счета, при  $a = b = 1$  показывают,

что с увеличением длительности наблюдения экспериментальная функция распределения  $F^*(x)$  случайной величины  $X$  сходится к теоретической  $F(x)$  (см. рис. 3). Выражение функции распределения при таких значениях параметров модели может быть получено аналитически, для этого с использованием выражений (3.8) вычисляются значения параметров закона распределения  $\alpha = 1,0$ ,  $\beta = 2,0$ , тогда плотность распределения (3.22) будет иметь вид

$$f(x) = \frac{x+1}{2},$$

что дает выражение для функции распределения

$$F(x) = \frac{x^2 + 2x + 1}{4}.$$

Сходимость экспериментальной функции распределения фазовой координаты  $x(t)$  к теоретической функции распределения подтверждается при любых значениях параметров модели.

#### 4. Адаптивное распознавание неизвестных вероятностей скачков случайного двоичного входного сигнала

Дополним систему, изображенную на рис. 2, измерителем выходного сигнала, описываемым в дискретной форме

$$(4.1) \quad z_k = x_k + \zeta_k,$$

где  $\zeta_k$  — последовательность случайных величин, независимых при разных  $k$  и распределенных в диапазоне  $[-1, 1]$  с плотностью вероятности Пирсона I типа

$$(4.2) \quad f_{\zeta}(\zeta_k) = \frac{3(1 - \zeta_k^2)}{4}.$$

Входной сигнал  $u_k(s_k) \in [-1, 1]$ . В отличие от постановки задачи в разделе 2 вероятности перехода  $h$  и  $g$  марковской цепи  $u_k(s_k)$  неизвестны, и их необходимо найти, используя измерения  $z_k$ .

1. Приближенную связь апостериорных оценок  $\hat{x}_k, \hat{R}_k$  с прогнозируемыми  $\tilde{x}_k, \tilde{R}_k$  и измерением  $z_k$ , применяя байесовскую обработку информации и линейную регрессию коррелированных случайных величин  $x_k$  и  $z_k$ , можно представить в виде следующих формул [2]:

$$(4.3) \quad \hat{x}_{k+1} \approx \left[ \tilde{x} + \frac{\tilde{R}^{xz}}{\tilde{R}^z} (z - \tilde{z}) \right]_{k+1},$$

$$(4.4) \quad \hat{R}_{k+1} \approx \left[ \tilde{R} + \frac{(\tilde{R}^{xz})^2}{\tilde{R}^z} \right]_{k+1},$$

где

$$\begin{aligned}\hat{x}_{k+1} &\triangleq M \left[ x_{k+1} | z_{\overline{0,k+1}} \right], & \tilde{x}_{k+1} &\triangleq M \left[ x_{k+1} | z_{\overline{0,k}} \right], \\ \hat{R}_{k+1} &\triangleq M \left[ (x_{k+1} - \hat{x}_{k+1})^2 | z_{\overline{0,k+1}} \right], & \tilde{R}_{k+1} &\triangleq M \left[ (x_{k+1} - \tilde{x}_{k+1})^2 | z_{\overline{0,k}} \right], \\ \tilde{R}_{k+1}^{xz} &\triangleq M \left[ (x_{k+1} - \tilde{x}_{k+1})(z_{k+1} - \tilde{z}_{k+1}) | z_{\overline{0,k}} \right], \\ \tilde{R}_{k+1}^z &\triangleq M \left[ (z_{k+1} - \tilde{z}_{k+1})^2 | z_{\overline{0,k}} \right];\end{aligned}$$

$$(4.5) \quad \tilde{x}_{k+1} = \left[ l\hat{x} + (1-l)\hat{u} \right]_k,$$

$$(4.6) \quad \tilde{R}_{k+1} = \left[ l^2\hat{R} + (1-l)^2\hat{G} \right]_k,$$

где

$$\begin{aligned}\hat{u}_k &\triangleq M[u_k(s_k) | z_{\overline{0,k}}], \\ \hat{G}_k &\triangleq M[(u_k(s_k) - \hat{u}_k)^2 | z_{\overline{0,k-1}}].\end{aligned}$$

2. Согласно (4.1), (4.2)  $\tilde{R}_k^{xz}$ ,  $\tilde{R}_k^z$  определяются формулами

$$(4.7) \quad \tilde{R}_k^{xz} = \tilde{R}_k, \quad \tilde{R}_k^z = \tilde{R}_k + Q, \quad \tilde{z}_k = \tilde{x}_k,$$

где  $Q_k$  — дисперсия помехи  $\zeta_k$ .

Подставив (4.7) в (4.3)–(4.6), получаем

$$(4.8) \quad \hat{x}_{k+1} = \frac{\left[ l\hat{x}_k + (1-l)\hat{u}_k \right] Q + \left[ l^2\hat{R}_k + (1-l)^2\hat{G}_k \right] z_{k+1}}{l^2\hat{R}_k + (1-l)^2\hat{G}_k + Q},$$

$$(4.9) \quad \hat{R}_{k+1} = \frac{\left[ l^2\hat{R}_k + (1-l)^2\hat{G}_k \right] Q}{l^2\hat{R}_k + (1-l)^2\hat{G}_k + Q},$$

$$\hat{x}_0 = \bar{x}_0, \quad \hat{R}_0 = R_0, \quad Q = 0,2,$$

где  $\bar{x}_0$ ,  $R_0$  — известные величины.

3. Математическое ожидание и дисперсия входного сигнала  $u_k(s_k)$ , распределенного по закону Бернулли, определяются формулами

$$(4.10) \quad \hat{u}_k = \hat{p}_k(1) - \hat{p}_k(2), \quad \hat{G}_k = 4\hat{p}_k(1)\hat{p}_k(2).$$

Вероятности  $p_k(1)$ ,  $p_k(2)$  состояний структуры  $s_k = 1, 2$  марковской цепи в установившемся режиме согласно (3.15) определяются формулами

$$(4.11) \quad p(1) = \frac{g}{h+g}, \quad p(2) = \frac{h}{h+g}.$$



При неизвестных  $h$  и  $g$  эти вероятности корректируются на основании измерений  $z_{0,k}$  и приближенно могут быть определены формулами

$$(4.12) \quad \hat{p}_k(1) = \frac{\hat{g}_k}{\hat{h}_k + \hat{g}_k}, \quad \hat{p}_k(2) = \frac{\hat{h}_k}{\hat{h}_k + \hat{g}_k}.$$

Учитывая связь (3.8) вероятностей перехода  $h, g$  с параметрами распределения Пирсона I типа, получаем из (4.10)

$$(4.13) \quad \hat{p}_k(1) = \frac{\hat{\alpha}_k}{\hat{\alpha}_k + \hat{\beta}_k}, \quad \hat{p}_k(2) = \frac{\hat{\beta}_k}{\hat{\alpha}_k + \hat{\beta}_k},$$

где  $\hat{h}_k, \hat{g}_k, \hat{\alpha}_k, \hat{\beta}_k$  — оценки соответствующих параметров  $h, g, \alpha, \beta$ , полученные на основании измерений  $z_{0,k}$ .

4. Математическое ожидание  $\bar{x}$  и дисперсия  $R$  распределения Пирсона I типа в диапазоне  $x \in [-1, 1]$  связаны с параметрами распределения  $\alpha, \beta$  формулами [4, 5]

$$(4.14) \quad \bar{x} = \frac{\alpha - \beta}{\alpha + \beta}, \quad R = \frac{4\alpha\beta}{(\alpha + \beta)^2(\alpha + \beta + 1)},$$

откуда следует

$$(4.15) \quad \alpha = \frac{(1 + \bar{x})\gamma}{2}, \quad \beta = \frac{(1 - \bar{x})\gamma}{2}, \quad \gamma = \frac{1 - \bar{x}^2}{R} - 1,$$

$$(4.16) \quad \hat{\alpha} = \frac{(1 + \hat{x})\hat{\gamma}}{2}, \quad \hat{\beta} = \frac{(1 - \hat{x})\hat{\gamma}}{2}, \quad \hat{\gamma} = \frac{1 - \hat{x}^2}{\hat{R}} - 1.$$

Подставив (4.13) в (4.10), получаем

$$(4.17) \quad \hat{u}_k = \frac{\hat{\alpha}_k - \hat{\beta}_k}{\hat{\alpha}_k + \hat{\beta}_k} = \hat{x}_k, \quad \hat{G}_k = \frac{4\hat{\alpha}_k\hat{\beta}_k}{(\hat{\alpha}_k + \hat{\beta}_k)^2} = 1 - \hat{x}^2.$$

Подставив (4.17) в (4.8), (4.9), получаем

$$(4.18) \quad \hat{x}_{k+1} = \frac{Q\hat{x}_k + [l^2\hat{R}_k + (1-l)^2(1-\hat{x}_k^2)]z_{k+1}}{l^2\hat{R}_k + (1-l)^2(1-\hat{x}_k^2) + Q},$$

$$(4.19) \quad \hat{R}_{k+1} = \frac{[l^2\hat{R}_k + (1-l)^2(1-\hat{x}_k^2)]Q}{l^2\hat{R}_k + (1-l)^2(1-\hat{x}_k^2) + Q}.$$

Согласно (2.1), (3.8)

$$(4.20) \quad \hat{g}_k = \hat{\alpha}_k(1-l), \quad \hat{h}_k = \hat{\beta}_k(1-l).$$

Таким образом, алгоритм адаптивного распознавания неизвестных вероятностей перехода  $h$  и  $g$  марковского двоичного входного сигнала  $u_k(s_k)$ ,  $s_k = 1, 2$  с параметрами  $u_k(1) = 1, u_k(2) = -1$  описывается замкнутой системой уравнений (4.18)–(4.20), входом которой является измерение  $z_k$ , а выходом — оценки  $\hat{h}_k, \hat{g}_k$ .

## 5. Заключение

В результате решения задачи нахождения закона распределения сигнала на выходе апериодического звена, на вход которого действует случайный двоичный сигнал, вероятности переходов которого из одного состояния в другое описываются марковской цепью, получена плотность вероятности выходного сигнала.

Задача решена методами теории систем со случайной скачкообразной структурой [1–3]. Найденная плотность вероятности является распределением Пирсона I типа, которое широко используется в прикладных задачах анализа и синтеза стохастических динамических систем [4, 5]. Полученное аналитическое решение подтверждено результатами математического моделирования.

Полученные результаты используются для построения алгоритма адаптивного распознавания *неизвестных* вероятностей переходов на основании неточных измерений выходного сигнала системы.

### СПИСОК ЛИТЕРАТУРЫ

1. *Бухалёв В.А.* Распознавание, оценивание и управление в системах со случайной скачкообразной структурой. М.: Наука, 1996.
2. *Бухалёв В.А.* Оптимальное сглаживание в системах со случайной скачкообразной структурой. М.: Физматлит, 2013.
3. *Бухалёв В.А., Скрынников А.А., Болдинов В.А.* Игровое управление системами со случайной скачкообразной структурой. М.: ФИЗМАТЛИТ, 2021.
4. Справочник по теории вероятностей и математической статистике. Под редакцией В.С. Королюка. М.: Наука, 1985.
5. *Джонсон Н.Л., Коц С., Балакришнан Н.* Одномерные непрерывные распределения. В двух частях. Ч.2. М.: Бином. Лаборатория знаний, 2012.
6. *Piers B.D., Swarder D.D.* Bayes and Minimax Controllers for a Linear Systems for Stochastic Jump Parameters // IEEE Trans. Autom. Control. 1971. V. 16. No. 4. P. 677–685.
7. *Moon J.* A Sufficient Condition for Linear-Quadratic Stochastic Zero-Sum Differential Games for Markov Jump Systems // IEEE Trans. Autom. Control. 2019. V. 64. No. 4. P. 1619–1626.
8. *Mariton M.* Jump Linear Systems in Automatic Control. Taylor & Francis, 1990.
9. *Swarder D.D.* Feedback Control of a Class of Linear Systems with Jump Parameters // IEEE Trans. Autom. Control. 1969. V. 14. No. 1. P. 9–14.
10. *Камке Э.* Справочник по обыкновенным дифференциальным уравнениям. М.: ФИЗМАТЛИТ, 1976.

*Статья представлена к публикации членом редколлегии Б.М. Миллером.*

Поступила в редакцию 14.11.2021

После доработки 16.02.2022

Принята к публикации 31.03.2022